

鐵筋 캐스터블 耐火物의 高溫特性에 關한 연구*

朴金喆, 崔泳燮, 韓文熙, 張榮宰, 朴根遠

漢陽大學校 無機材料工學科

(1980年 4月 3日 接受)

A Study on Steel Wire Fiber Reinforced Refractory Castable

Keum Chul Park, Young Sub Choi, Mun Hi Han, Young Jai Chang and Keun Won Park

Dept. of Inorganic Material Eng. Han Yang Univ.

(Received April 3, 1980)

ABSTRACT

This study deals with the wire content, wire diameter, aspect ratio, it's arrangements of steel wire fiber and the sorts of castable which affect the character of steel wire fiber reinforced refractory castable. Two kinds of aluminia based refractory castables, one is for 1650°C and the other is for 1800°C, and stainless steel which is SUS 304 type 0.25, 0.34, 0.37 and 0.50m/m in diameter were used respectively. Aspect ratio was adjusted to 50, 75, 100 and steel fiber content was also adjusted to 1~4 wt% each.

The results of the experiment were as follows;

- At firing temperature around 1,000°C, the MOR is increased with increasing wire content and aspect ratio with decreasing firing temperature, which depends on the Romualdi's Fiber Spacing Theory. But for calculation of the fiber spacing, Swamy equation is more applicable to the extensive fiber mixing conditions. However the condition differs from the above at firing temperature around 1,350°C, because of the degradation of wire and the progress of sintering of castable.
- Linear change is getting larger corresponding to the increase of wire content, and the spalling resistivity is increasing corresponding to the increase of wire content and to aspect ratio, and with decreasing wire diameter.
- Firing shrinkage under load is getting greater as higher wire content, and the shrinkage of the test pieces which fiber is vertically oriented is getting greater than the test pieces which fiber is randomly oriented.

1. 緒論

시멘트나 콘크리트에 鋼線 繊維를 混入시키면 強度, 幹燥 收縮 等 製品의 特性이 改善되며^{(1)~(3)} 混入된 鋼線 繊維는 強度 弱化의 原因이 되는 製品 内部의 가장 큰 缺陷部分, 即 氣孔이나 龜裂 等의 크기를 減少시키는役割을 하므로써 強化된다라고 한다⁽¹⁾. 이와같은 鋼線 繊維의 混入 效果에 着眼하여 Lankard 等⁽⁵⁾은 直徑

0.013in., 길이 1.0in. 인 스텐레스 鋼線(SUS 310)을 1900°C用 高 알루미나質 캐스터블에 0.127~0.179wt%混入하여 그 特性 變化를 報告한 바 있다.

本研究는 鋼線 繊維混入 캐스터블의 特性이 鋼線의 混合 比率 뿐만 아니라 鋼線의 直徑, 直徑, aspect ratio(길이/直徑), 配列 및 캐스터블의 種類 等에 따라서도 變化될 것으로 보고 이 關係를 調査 明確한 것이다.

*이 논문은 1979년도 문교부 학술 연구 조성비에 의하여 연구 된 것임.

2. 實驗

2-1 使用材料

本實驗에 使用한 材料 中 캐스터블은 2種類이며, 그中 하나는 熔融 알루미나—알루미나 시멘트系의 1800°C用이고, 다른 하나는 알루미노 실리케이트—알루미나 시멘트系의 1650°C用이다. 또한 混入用 스텐레스 鋼線은 直徑이 각각 0.25, 0.34, 0.37, 0.50mm인 高 크롬 鋼을 耐熱鋼이다.

2-2 試片의 製造

1) 成形 및 養生

스텐레스 鋼線은 각각 所定의 길이로 切斷한 다음 캐스터블과 一定한 무게 比가 되게 달아 Habert type beater mixer에서 미리 乾式으로 混合한 後 3wt%의 물을 加하여 濕式混合을 하였다. 混合된 것은 鋼製型에 넣어 握動板 위에서 成形하였으며 難易強度, 線變化率 및 스플링 抵抗性測定用은 4×4×16cm의 角棒形으로, 且 荷重軟化性測定用은 內徑 1cm, 外徑 5cm의 圓筒形으로 하였다. 成形試片은 20°C—飽和水蒸氣條件下에서 48時間 養生시켰으며, 처음 24時間은 鋼製型에 담긴채 나머지 24時間은 脫型狀態로 하였다.

2) 烧成

燒成試片은 炭化硅素 發熱體의 電氣爐內에서 平均 4°C/min.의 速度로 上溫시킨 다음 각각 所定의 最高溫度에서 2時間維持시켜 얻었다.

2-3 特性測定

1) 鋼線의 酸化率

2.54cm 길이로 切斷한 鋼線과, 이를 磨製 도가니에 넣어 試片 烧成과 같은 條件下에 두었을 때 와의 鋼線의 무게 變化率를 測定하였다.

2) 難易強度

試片의 難易強度는 KSL 3503에 따라서 測定하였으며 각각 試片 3個의 平均值을 取하였다. 實溫強度는 48時間 養生한 後 110±5°C로 乾燥한 것을, 烧成強度는 烧成冷却 後 110±5°C로 乾燥한 것을 각각 試片으로 하였다.

3) 線變化率

養生試片을 基準으로 하여 길이 方向의 線變化率를 求하였다.

4) 荷重軟化性

高溫荷重軟化試驗機(日本真空理工(株) DLCR-1500VH型)로 2kg/cm²의 荷重下에서 溫度—線變化率을 測定하였다.

5) 스플링抵抗

1350°C로 烧成한 試片과, 이를 900°C의 電氣爐內에서 50分間維持—水中急冷의 操作을 10回反復한 試片과의 壓縮強度變化率을 測定하였다. 試片의 크기는 4×4×4cm이며 難易強度測定으로 半切된 部分에서 얻었다.

6) 鑄物相

알루미나 시멘트와 乾燥 또는 烧成된 試片의 鑄物相은 粉末法에 依한 X線回折圖에서 解釋하였다.

3. 實驗結果 및 考察

3-1 鋼線의 酸化率

使用한 스텐레스 鋼線의 溫度—重量增加曲線은 圖-1과 같으며, 鋼線은 加熱溫度가 增加함에 따라서, 또 鋼線의 直徑이 減少됨에 따라서 重量增加率이 커지고 있다. 아와같은 重量變化는 主로 鋼線의 酸化에 依한 것이다. 비록 試片 中의 鋼線은 캐스터블에 依하여 一部包藏되겠지만 800°C以上的高溫에서는 一部酸化와 더불어 硅化를 일으켜 鋼線의 特性變化가豫想된다.

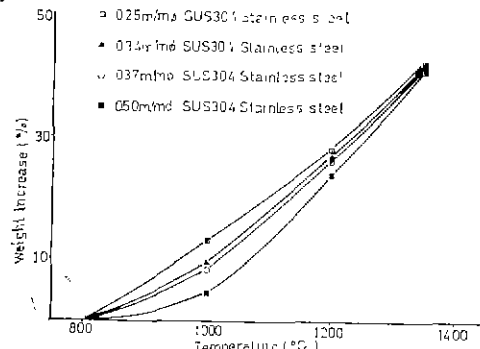


Fig. 1. Variation of weight increase with wire diameter and firing temperature.

3-2 캐스터블의 鑄物相變化

未水和 알루미나 시멘트와 鋼線이 混入되지 않은 캐스터블 1650°C用 그리고 1800°C用의 烧成溫度別 X線回折圖는 각각 圖 2-a, 圖 2-b의 같다. 圖 2-a와 圖 2-b의 最下段에 圖示된 알루미나 시멘트의 主鑄物은 CaO·Al₂O₃이나, 圖 2-a 即 1650°C用 캐스터블의 境遇 48時間養生한 것은 3Al₂O₃·2SiO₂, α-SiO₂ 및 2CaO·Al₂O₃·8H₂O가 主鑄物이며 烧成溫度가 높아짐에 따라서 2CaO·Al₂O₃·8H₂O의 peak 높이는 相對적으로 減少되는 것을 알 수가 있다. 그리고 圖 2-b에서 48時間養生시킨 1800°C用 캐스터블은 α-Al₂O₃와 2CaO·Al₂O₃·8H₂O가 主鑄物이며, 烧成溫度가 上昇함에 따라서 2CaO·Al₂O₃·8H₂O의 peak 높이도

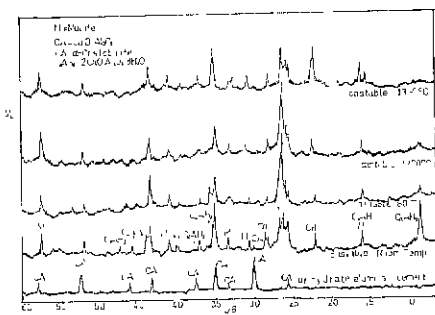


Fig. 2-a. X-ray diffraction patterns of Alumina cement and Castable used for 1650°C according to firing temperature.

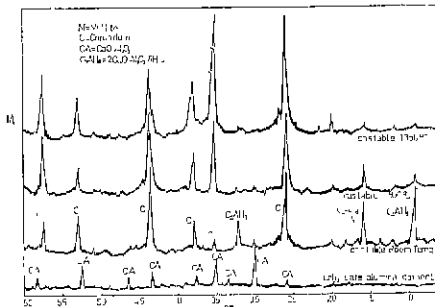


Fig. 2-b. X-ray diffraction patterns of Alumina cement and Castable used for 1800°C according to firing temperature

1650°C用 캐스터블에서 와 같이 相對的으로 減少되고 있다. 이와 같은 事實中, 알루미나 시멘트의 主構成 鎳物은 $\text{CaO}\cdot\text{Al}_2\text{O}_3$ 인데 養生한 캐스터블에는 $\text{CaO}\cdot\text{Al}_2\text{O}_3$ 의 存在는 確認되지 않고 그의 水和反應 生成物로 보아지는 $2\text{CaO}\cdot\text{Al}_2\text{O}_3\cdot8\text{H}_2\text{O}$ 가 確認된 點, 그리고 烧成된 캐스터블에서는 $2\text{CaO}\cdot\text{Al}_2\text{O}_3\cdot8\text{H}_2\text{O}$ 的 存在를 確認하기 어려워진 點으로 미루어 水和된 알루미나 시멘트의 成分 鎳物이 漸次 熱分解를 일으킨 것으로 思料된다.

3-3 烧成 強度

i) 鋼線 含量, 烧成 溫度의 影響

直徑(0.37m/m²)과 길이(2.54cm)가 같은 鋼線을 含量를 달리 하여 1650°C用 캐스터블에 加하고 烧成 溫度를 變化시켰을 때 試片의 破壊 強度는 圖-3과 같다. 여기서 보면 室溫에서 1000°C까지는 鋼線混入量이 많을 수록 強度가 크게 나타나고 있으나, 烧成 溫度가 높아짐에 따라 각각의 試片의 強度는 減少되고 있다. 그러나 1350°C로 烧成한 試片은 強線 含量이 작을 수

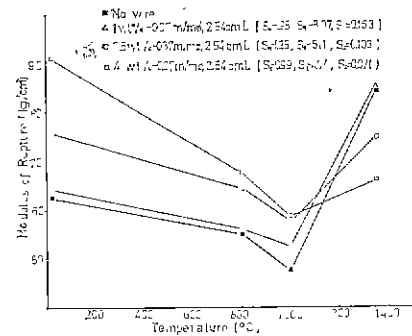


Fig. 3. Variation of modulus of rupture with wire content and firing temperature.

록 強度는 增加하고 있으며 鋼線이 含有 안된 것과 1wt% 含有된 것은 48時間 養生한 것 보다 強度가 크게 增加하고 있다.

또한 1wt%의 鋼線混入 試片은 室溫~1350°C間에서는 鋼線을混入시키지 않은 것 보다 強度가 크다.

ii) 鋼線徑, 烧成 溫度의 影響

2.54cm 길이의 鋼線을 1650°C用 캐스터블에 2.5wt%가 되게 加하되, 鋼線의 直徑을 0.25, 0.34, 0.37, 0.50m/m로 달리 하였을 때 烧成 溫度別 破壊 強度關係는 圖-4와 같다. 여기서 보면 烧成 溫度 800°C까지는 鋼線의 直徑이 작을 수록 強度가 크며 鋼線徑이 같을 時遇는 烧成 溫度가 높아짐에 따라서 強度의 弱化 現象을 나타내고 있다. 그러나 1350°C로 烧成한 것들은 48時間 養生한 것과 거의 같은 強度를 보이고 있다.

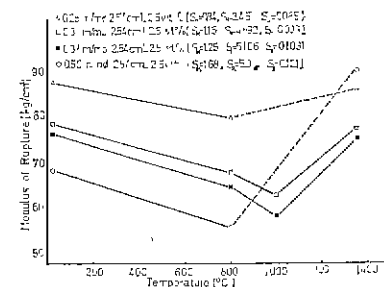


Fig. 4. Variation of modulus of rupture with diameter and firing temperature.

iii) aspect ratio, 烧成 溫度의 影響

直徑이 0.37m/m인 鋼線을 1650°C用 캐스터블에 2.5wt% 쪽 含有되게 하되, 鋼線의 길이를 각각 1.850, 2.775, 3.700cm로 하여 길이 对 直徑의 比, 即 aspect

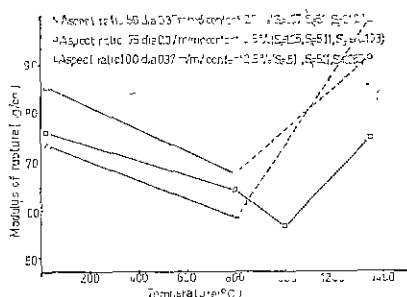


Fig. 5. Variation of modulus of rupture with aspect ratio and firing temperature.

ratio 가 50, 75, 100이 되게 하였을 때 鋼或 溫度別 破壊 強度 變化는 圖-5와 같다. 여기서 보면 烧成 溫度 1000°C까지는 aspect ratio 가 를수록 強度가 增加되고 있으나 烧成 溫度가 높아짐에 따라서 強度가 弱화되어 1350°C로 烧成한 것의 強度는 각각 48時間 養生한 것 보다 크거나 거의 비슷한 値를 나타내고 있다.

iv) 캐스터블 種類의 影響

直徑 0.34m/m, 길이 2.54cm인 鋼線을 각각 1650°C用과 1800°C用 캐스터블에 2.5wt% 合量이 되게 混入한 것의 烧成 溫度別 破壊 強度 變化는 圖-6과 같다. 여기서 鋼線을 混入한 것과 混入 않은 것 그리고 이들의 烧成 溫度別 破壊 強度 變化의 傾向은 캐스터블의 種類와는 크게 關係되지 않는 것을 알 수가 있다.

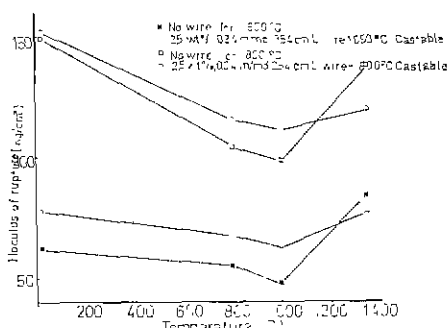


Fig. 6. Variation of modulus of rupture with Castable and firing temperature.

Griffith의 線形 破壊 力學에서는 材料 内部의 가장 큰 缺陷, 例컨데 가장 큰 氣孔이나 龜裂에 依하여 材料의 強度가 定해 진다. Romualdi, Batson 等⁽⁶⁾은 萬若 材料中에 纖維를 混入하여 纖維 間의 距離 S 를 缺陷의 크기 보다 작게 하면 龜裂이 纖維에 부딪치거나 마주친 곳에서 停止되므로 纖維의 間隔이 缺陷의 크기를 決定

하며, 材料의 強度 σ 와 S 는 $\sigma \propto 1/\sqrt{S}$ 의 關係에 있다고 하였다.

그리고 S 의 算出式으로서 Romualdi⁽¹⁾는 $S_R = 13.8 \sqrt{1/P}$, McKee⁽²⁾는 $S_M = 2.4 \sqrt{V/P}$, Swamy⁽³⁾은 $S_S = 0.25 \sqrt{d/l}$ 을 각각 提示하고 있으며 이들 式에서 d 는 纖維의 直徑, P 는 纖維의 容積 百分率(%), V 는 纖維 1個의 容積(mm^3), l 은 纖維 1個의 길이이다.

鋼線의 混入 條件에 따라서 鋼線의 間隔 S_R , S_M , S_S 를 각각 計算하고 材料의 破壊 強度와의 關係를 보면 圖-3과 圖-4에서와 같이 1000°C까지는 鋼線의 混入量이 增加할 수록, 鋼線直徑이 減少될 수록 S_R , S_M , S_S 는 다 같이 減少되고 있으므로 鋼線의 間隔 減少 傾向과 破壊 強度 증가 傾向은 一致되고 있다.

그러나 圖-5에서 鋼線의 aspect ratio가 增加하면 S_S 는 減少되지만, S_M 은 增加하고, S_R 은 一定한 値를 나타내고 있으며, Swamy가 提示한 纖維 間隔과 破壊 強度 傾向이 一致된다. 따라서 鋼線 纖維 混入 캐스터블의 養生 後부터 1000°C近方까지의 冷間 破壊 強度는 Romualdi, Batson 等의 纖維 間隔 說에 따르되 纖維 間隔 算出式으로는 Swamy等이 提示한 것이 보다 廣範한 纖維 混入 條件에 適用된 듯하다. 또한 이 溫度範圍에서 各 試片의 破壊 強度가 烧成 溫度가 높아짐에 따라서 減少되는 理由는 圖-1, 圖-10에 나타난 바와 같이 酸化, 軟化, 熔融 등으로 鋼線의 強度가 크게 變化되고 있지 않으므로 圖-2a에서와 같이 主로 養生 後 水和로 硬化된 材料가 加熱로 脫水를 일으켜 強度弱化를 일으키는 것으로 보아진다. 그러나, 1350°C로 烧成한 試片은 鋼線의 間隔과 破壊 強度의 傾向이 纖維 間隔 說에 따르지 않고 있으며, 이는 圖-1, 圖-10의 結果로 미루어 纖維의 一部 酸化, 反應 等이 일어나므로 材料의 強化 支配 機構은 材料의 構成 鑽物間의 烧結이 보다 支配的인가 때문이라고 料料된다.

3-4 線變化率

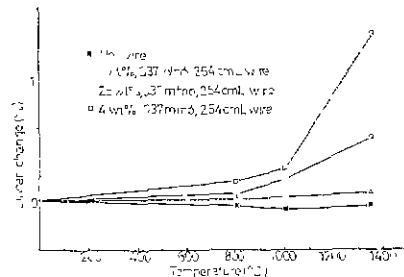


Fig. 7. Variation of linear change with wire content and firing temperature.

1650°C 用 캐스터블에 直徑 0.37m/m, 長さ 2.54cm 的 鋼線을 各各 1, 2.5, 4wt% 씩 加한 것의 烧成 溫度別 線變化率은 圖-7과 같다. 여기서 보면 鋼線을 混入한 것은 그 含量이 多을 수록 烧成 溫度가 높아질 수록 多은 膨脹을 하고 있으며, 이는 鋼線의 酸化 膨脹現象이 主된 原因일 것이라고 생각된다.

3-5 스플링 抵抗性

鋼線의 混入量, 直徑, aspect ratio變化에 따른 스플링 傾向度는 圖-8과 같다. 여기서 보면 스플링 傾向度와 逆數 關係에 있는 스플링 抵抗度는 各各 鋼線의 混入量과 aspect ratio가 增加할 수록, 鋼線의 直徑이 작을 수록 커지고 있다. 이와 같은 事實에서 스플링 抵抗은 鋼線이 고르게 또 多이 캐스터블 構成 成分과 接觸하는 것이 効果的 임을 말해 주고 있다.

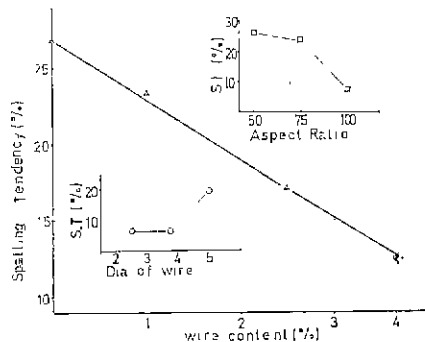


Fig. 8. Variation of Spalling tendency with wire content, wire diameter and aspect ratio.

3-6 荷重軟化性

1800°C 用 캐스터블에 直徑 0.34m/m 長さ 2.54cm 的 鋼線을 含量과 配列 方式이 다르게 加했을 때 2kg/cm²의 荷重 下에 1700°C 에서의 線變化率은 圖-9와 같다.

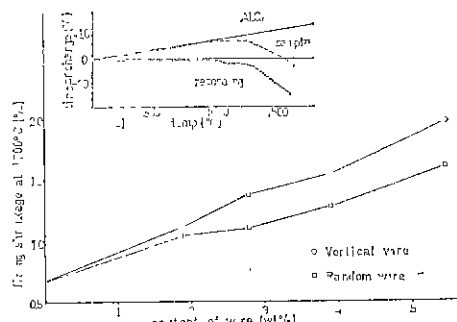


Fig. 9. Firing shrinkage under load according to firing temperature of a sample and, firing shrinkage under load at 1700°C with wire content and wire orientation.

다. 이 결과를 보면 鋼線 含量이 增加할 수록, 鋼線이 加壓 方向에 垂直 配列이 될 수록 烧成 收縮率은 커지고 있다. 이와 같은 사설은 鋼線의 脆點이 1430°C 近方이며 圖-10과 같이 鋼線 周圍가 侵潤된 것으로 보아 高溫에서 鋼線이 熔融되는 한편 캐스터블과의 反應으로 液相을 形成하기 때문이라고 推定된다.

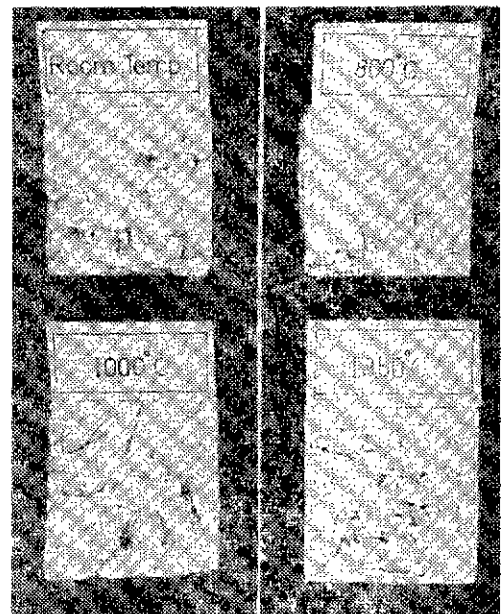


Fig. 10. Photographic view of broken surface of the test pieces (0.34m/mφ - 2.54cm L - 2.5wt%) according to firing temperature.

4. 結 言

本研究에서 얻어진 主要 結果는 다음과 같다.

(1) 1000°C 近方까지의 溫度 領域에서는 鋼線의 混入量과 aspect ratio가 增加할 수록, 鋼線의 直徑이 작을 수록, 낮은 溫度에서 烧成한 것일 수록 鋼線의 強度는 增加하며 纖維 強化에 關한 Remualdi의 纖維 間隔說이 適用되나 纖維 間隔 算出式은 Swamy의 式이 보다 廣範 固한 纖維 混入 條件에 適用된다. 그러나 1350°C 近方에서는 鋼線의 弱化와 캐스터블의 虛結 進行으로 様相이 달라진다.

(2) 鋼線의 含量이 增加할 수록 烧成 膨脹率이 크며 스플링 抵抗度는 鋼線의 含量과 aspect ratio가 를 수록 線徑이 작을 수록 커진다.

(3) 荷重軟化性은 鋼線 含量이 多을 수록 鋼線 配列이 加壓 方向과 垂直일 수록 크다.

文 獻

1. J. P. Romualdi and J. A. Mandel, "Tensile strength of concrete affected by uniformly distributed and closely spaced short length of wire reinforcement" *J. Amer. Concr. Inst. Proceeding*, 61 [6, Pt. 1] 657-70 (1964).
2. G. R. Williamson et. al., "Fibrous reinforcements for Portland Cement Concrete", U. S. Army Corps of engineers, Ohio river division, Tech. rept., 2-40, 29pp, May (1965).
3. S. C. Sanday, "Fatigue strength of closely spaced short wire reinforced concrete", M. S. Thesis, carnegie Institute of technology, Pittsburgh, Pa. 25pp, December (1963).
4. M. A. Iqbal, "Shrinkage of steel fiber reinforced concrete", M. S. Thesis, Carnegie Institute of technology, Pittsburgh, Pa. 18pp, April (1965).
5. D. R. Lankard and H. D. Sheets, "Use of steel wire fibers in refractory Castables," *Bull. Amer. Ceram. Soc.*, 50 [5] 497-500 (1971)
6. Plibrico, "Monolithic refractories" p.188 Plibrico, Japan (1979).